

نشریه علمی-پژوهشی جغرافیا و برنامه‌ریزی، سال ۱۷، شماره ۴۴، تابستان ۱۳۹۲، صفحات ۲۱۴-۲۰۳

تاریخ پذیرش نهایی: ۱۳۹۱/۰۸/۱۰

تاریخ دریافت: ۱۳۹۰/۰۶/۱۵

## آشکارسازی تغییرات کاربری/پوشش اراضی با پردازش شئ‌گرای تصاویر ماهواره‌ای (مطالعه موردی: شهرستان تبریز)

لیلا شریفی<sup>۱</sup>

علی‌اکبر رسولی<sup>۲</sup>

میراسدآ... حجازی<sup>۳</sup>

هاشم رستمزاده<sup>۴</sup>

### چکیده

در طول زمان، الگوهای پوشش زمین و به تبع آن کاربری اراضی دچار تغییر و دگرگونی اساسی می‌شوند. اصولاً برای استفاده بهینه از قابلیتهای منابع طبیعی، کسب اطلاعات دقیق از پتانسیل‌های کاربری اراضی امری ضروری است. امروزه، فن‌آوری سنجش از راه دور به عنوان یک راهکار ارزشمند در جهت شناسایی منابع طبیعی، بهویژه در روند تهیی نفعه‌های کاربری اراضی، در مناطق مختلف جهان به صورت علمی مورد استناد قرار می‌گیرد. بر این اساس، برای بررسی تغییرات کاربری اراضی شهرستان تبریز طی سال‌های ۱۹۸۹، ۲۰۰۱، ۲۰۰۷، ۲۰۱۰، تصاویر ماهواره‌ای IRS1989، ETM2001+2010، TM1989، به پردازش شد و با تکنیک شئ‌گرا طبقه‌بندی گردید. سپس در محیط GIS به روش مقایسه پس از طبقه‌بندی، تغییرات طی این دوره زمانی نمایش داده شد. نتایج حاصله نشان می‌دهد که میزان تغییرات طی دوره‌های زمانی ۱۹۸۹-۲۰۱۰، ۲۰۰۷-۲۰۱۰، ۲۰۰۱-۲۰۰۷، ۱۹۸۹-۲۰۰۱، ۲۰۰۱-۲۰۱۰، به ترتیب ۶۰/۸۰، ۵۶/۳۰، ۵۶/۴۰ درصد می‌باشد، بهطوری که کاربری پوشش گیاهی و سطوح آبی بیشترین میزان کاهش را داشته است. در این میان بیشترین تبدیل کاربری، در اراضی ساخته شده اتفاق افتاده است.

**واژگان کلیدی:** تصاویر ماهواره‌ای، طبقه‌بندی شئ‌گرا، کاربری اراضی، شهرستان تبریز.

Email:laylasharifi@yahoo.com.

۱- کارشناس ارشد سنجش از دور GIS دانشگاه تبریز.

۲- استاد گروه جغرافیای طبیعی دانشگاه تبریز.

۳- استاد گروه جغرافیای طبیعی دانشگاه تبریز.

۴- استادیار گروه جغرافیای طبیعی دانشگاه تبریز.

## مقدمه

کاربری و پوشش اراضی<sup>۱</sup> از جمله فرایندهایی طبیعی و انسانی است که تغییرات در آن خیلی سریع اتفاق می‌افتد. تهیه نقشه این تغییرات، بخش عمده‌ای از اطلاعات مورد نیاز متخصصان و برنامه‌ریزان توسعه شهری و روستایی را فراهم می‌سازد. تهیه چنین اطلاعاتی در سطح وسیع و بادقت بالا از طریق انجام عملیات زمینی امری پرهزینه، وقت‌گیر و در مواردی غیرممکن است. امروزه فناوری سنجش از راه دور به عنوان یک راهکار ارزشمند در جهت پایش، تشخیص، شناسایی و پنهان‌بندی منابع طبیعی و بهویژه در روند تهیه نقشه‌های کاربری اراضی، در مناطق مختلف جهان به صورت علمی مورد استفاده قرار می‌گیرد (رسولی، ۱۳۸۷: ۸۹). به عنوان مثال، عبد ال-کاوی و همکاران<sup>۲</sup> (۲۰۱۰)، با استفاده از طبقه‌بندی نظارت شده تصاویر ماهواره‌ای لندست طی سال‌های ۱۹۸۴، ۱۹۹۹ و ۲۰۰۵ و ۲۰۰۹ تغییرات کاربری و پوشش اراضی دلتای شرقی رود نیل مصر را بررسی نموده‌اند. با مقایسه تصاویر پس از طبقه‌بندی به این نتیجه رسیدند که بیشترین تغییرات در تبدیل زمین‌های بایر به مزارع کشاورزی بوده است. دوان و یاماگوچی<sup>۳</sup> (۲۰۰۹)، تغییرات کاربری / پوشش اراضی و رشد شهری را طی سال‌های ۱۹۷۵ - ۲۰۰۳، با استفاده از داده‌های اجتماعی-اقتصادی و تصاویر ماهواره‌ای ارزیابی نمودند. نتایج این بررسی نشان داد که رشد نواحی ساخته شده باعث کاهش سطوح آبی و پاکسازی پوشش گیاهی شده است. شفیعی (۱۳۸۶)، برای کشف تغییرات<sup>۴</sup> کاربری اراضی حادث شده در دشت قزوین طی سال‌های ۱۹۸۷ و ۲۰۰۲ از تصاویر ماهواره‌ای TM، ETM+ استفاده نمود. نتایج این پژوهش نشان داد که حدود ۱۹/۸۶ درصد از الگوهای کاربری اراضی دچار تغییرات اساسی شده‌اند. به طوری که بیشترین افزایش مربوط به کاربری‌های مسکونی و صنعتی و بیشترین کاهش مربوط به کاربری‌های مرتع، دیم و باغ‌های میوه است. سپس با اعمال شاخص زیان‌باری برای ارزیابی اثرات زیست محیطی مشخص گردید که بیش از هجده هزار هکتار از تغییرهای حاصله در

1- Land Use/Cover

2- Abd El-Kawy et.al

3- Dewan, &amp; Yamaguchi

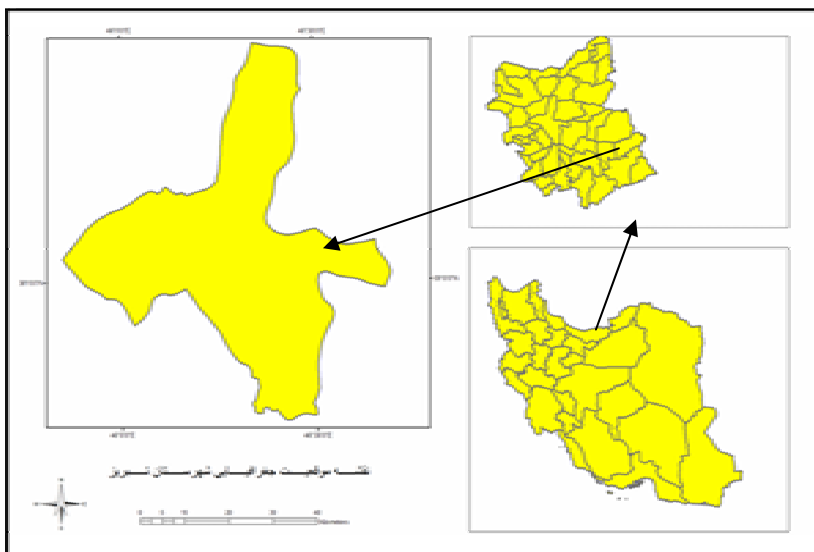
4- Change Detection

کاربری‌های اراضی، زیان‌بار بوده است. فیضی‌زاده و همکاران (۱۳۸۶)، در پژوهشی تغییرات فضای سبز شهر تبریز را در یک دوره زمانی ۱۶ ساله (۱۳۶۸-۱۳۸۴)، مورد ارزیابی قرار دادند. نتایج نهایی نشان داد که فضای سبز شهری تبریز در طی دوره مورد مطالعه، بیش از ۴۶ درصد کاهش داشته است. سرانه آن نیز از حدود ۱۴ مترمربع در سال ۱۳۶۸ به ۷/۵ مترمربع در سال ۱۳۸۴ رسیده است.

همچنین، پژوهش‌هایی راجح به تغییرات کاربری اراضی شهر تبریز به صورت موردي انجام شده است، اما در این پژوهش، منطقه مورد مطالعه شهرستان تبریز بوده و از تصاویر چندسنجنده‌ای (ETM+, TM, IRS) و چندزمانه‌ای سال‌های (۱۹۸۹، ۲۰۰۱، ۲۰۰۷ و ۲۰۱۰) برای تشخیص تغییرات کاربری اراضی این منطقه استفاده شده است.

### ویژگی‌های جغرافیایی محدوده مورد مطالعه

شهرستان تبریز یکی از شهرستان‌های ۱۹ گانه استان آذربایجان شرقی می‌باشد. به طوری که برجستگی‌ترین شهرستان شمال غرب کشور محسوب می‌شود و از نظر مختصات جغرافیایی در عرض شمالی ۳۷ درجه و ۴۲ دقیقه تا ۳۸ درجه و ۲۹ دقیقه و در طول شرقی ۴۵ درجه و ۵۱ دقیقه تا ۴۶ درجه و ۴۰ دقیقه قرار گرفته است. ارتفاع تقریبی این شهرستان، از سطح دریا ۱۳۵۰ متر و مساحت آن نیز، ۲۲۷۰/۱۳ کیلومترمربع می‌باشد (اداره کل سازمان مدیریت و برنامه‌ریزی استان آذربایجان شرقی، ۱۳۸۲). در شکل ۱ موقعیت جغرافیایی شهرستان تبریز در ایران و در استان آذربایجان شرقی را نشان می‌دهد.



شکل (۱) موقعیت جغرافیایی شهرستان تبریز

## مواد و روش‌ها

با توجه به اینکه تصاویر ماهواره‌ای، از نقطه نظرهای تفکیک‌های مکانی، زمانی و طیفی همواره احتمال انواع خطاهای سیستماتیک و غیرسیستماتیک را دارند، بنابر این باید پردازش‌های اولیه بر روی داده‌های خام با هدف تصحیح هر گونه خطأ و اعوجاج رایج از طریق سیستم تصویربرداری یا شرایط اتمسفر در هنگام سنجش صورت گیرد (Jenson, 1986). در این پژوهش از تصاویر ماهواره‌ای IRS2007, 2010, ETM+2001, 2010, TM1989 استفاده شد. برای تصویر 2010 ETM+2001 تصحیح هندسی انجام نگرفت. به این دلیل که این تصاویر در ایستگاه گیرنده تصحیح می‌شوند. تصویر 1989 TM به روش تصویر به تصویر<sup>۱</sup> تصحیح شد. به این صورت که از تصویر 2010 ETM+2010 به عنوان تصویر تصحیح شده استفاده شد. برای اینکار ۳۰ نقطه کنترل با پراکنش مناسب انتخاب و با خطای ۶۰ پیکسل تصاویر تصحیح شدند. سپس برای بازیابی مجدد تصاویر تصحیح شده، با

1- Image to Image

استفاده از روش‌های درون‌یابی نزدیک‌ترین همسایگی<sup>۱</sup> (روش مناسب در شناسایی تغییرات)، ارزش‌های پیکسل‌های تصویر مجدداً محاسبه شدند. به منظور حذف تأثیرات اتمسفری تصاویر نیز، از روش کلی مبتنی بر کاهش تیرگی ارزش‌های عددی پیکسل‌های تیره<sup>۲</sup> در نرم‌افزار ENVI 4.7 استفاده گردید. این روش از دقت بالایی در تصحیح اتمسفری برخوردار بوده و به وفور در تحقیقات مورد استفاده قرار می‌گیرد. سپس برای افزایش کنتراست، باندهای تصاویر به روش بسط هیستوگرام به ارزش‌های ۰-۲۵۵ تبدیل گردیدند.

برای طبقه‌بندی تصاویر در این پژوهش، از روش شیء‌گرای<sup>۳</sup> استفاده گردید. به این دلیل که این روش علاوه بر اطلاعات طیفی از دیگر اطلاعات پیکسل‌ها (اندازه، شکل، بافت و...) برای طبقه‌بندی استفاده می‌کند. بنابراین این روش نسبت به روش‌های پیکسل پایه دقیق‌تر می‌باشد. در این روش تصویر متناسب با نظر مفسر در قالب شیء‌های تصویری سگمنت‌سازی<sup>۴</sup> می‌شود و پردازش تصویر به کمک این سگمنت‌ها انجام می‌شود. طبقه‌بندی شیء‌گرای تصاویر، یک طبقه‌بندی نرم است که بر اساس منطق فازی انجام می‌شود. طبقه‌بندی نرم از تابع عضویت برای ارزیابی اشیاء در کلاس‌ها استفاده می‌کند. ارزش عضویت معمولاً بین صفر و یک است که بیانگر عدم احتمال مطلق است. برای طبقه‌بندی شیء‌گرای در این پژوهش از تابع نزدیک‌ترین همسایه<sup>۵</sup> گردید. این نرم‌افزار، به منظور کاربرد روش فازی نوعی از طبقه‌بندی نزدیک‌ترین همسایه را ارائه می‌دهد که از این طریق تابع عضویت چند بعدی به طور اتوماتیک ایجاد می‌شود (رسولی، ۱۳۸۹: ۲۱).

برای اعمال این نوع طبقه‌بندی، پس از پیش پردازش، تصاویر ماهواره‌ای در محیط نرم‌افزار Cognition پرورده شده، سپس به محیط نرم‌افزار Defeniente انتقال داده شدند. برای انجام طبقه‌بندی تصویر، نخستین گام تعیین کلاس‌های طبقه‌بندی است. با توجه به

1- Nearest Neighbor Resample

2- Dark Subtract

3- Object-Oriented Classification

4- Segmentation

5- Nearest Neighbor

نقشه‌های توپوگرافی، نقشه‌های کاربری اراضی تهیه شده در سال‌های پیش به عنوان اطلاعات کمکی و قدرت تفکیک تصاویر و وسعت محدوده مورد مطالعه، تصاویر به ۵ کلاس اصلی شامل:

اراضی ساخته شده، مناطق آبی، اراضی باир و سنگلاخی، پوشش گیاهی ابوه و پوشش گیاهی تنک طبقه‌بندی گردیدند.

برای طبقه‌بندی شی‌گرا، اولین مرحله، تشکیل واحدهای پردازش به وسیله سگمنت‌سازی تصویر است (رسولی، ۱۳۸۹: ۲۱). قبل از اجرای فرایند سگمنت‌سازی یک سری تنظیماتی باید بر روی تصاویر انجام گیرد. در این تحقیق تنظیمات زیر برای اجرای بهتر و دقیق‌تر اعمال شده است (جدول ۱).

جدول (۱) تنظیم تصویر قبل از اجرای طبقه‌بندی

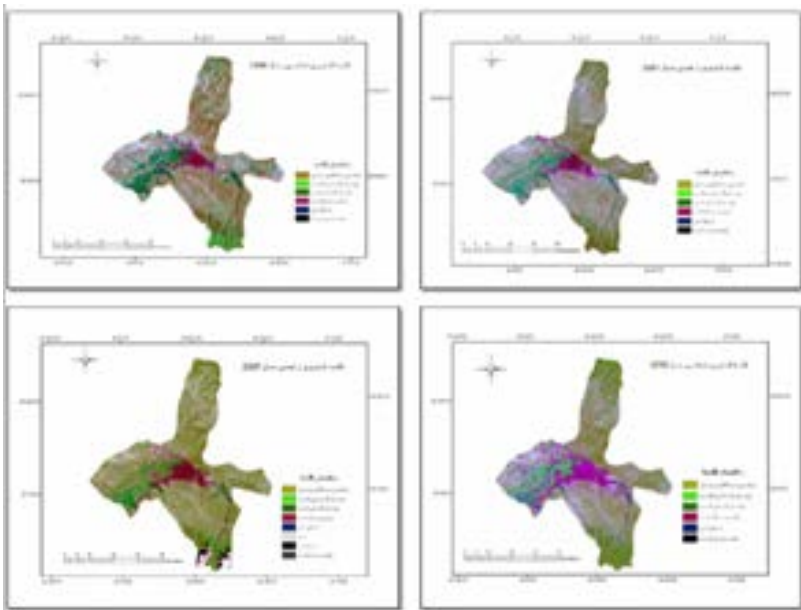
IRS-1D 2007	ETM+2001,2010	TM 1989	تصویر تنظیمات
۲-۱-۴	۱-۴-۷	۱-۴-۵	ترکیب باندی مناسب
۱-۳-۱	۱-۳-۱	۱-۳-۱	وزن باندها
۵	۵	۵	پارامتر مقایس
معیارشکل ۱/۰ معیار فشردگی ۵/۰	معیارشکل ۰/۲ معیار فشردگی ۵/۰	معیارشکل ۰/۲ معیار فشردگی ۵/۰	معیار همگنی شکل و فسردگی

با بهره‌گیری از تابع نزدیک‌ترین همسایه، تصاویر سال‌های طبقه‌بندی شدند. سپس برای کشف تغییرات از روش مقایسه پس از طبقه‌بندی استفاده گردید. این روش بهترین روش کشف تغییرات در دو زمان مختلف می‌باشد که در آن مقدار و نوع تغییرات در دو تصویر به دست می‌آید (Richards, 1999: 57).

## نتایج و یافته‌ها

در این پژوهش، پس از شناسایی بهترین الگوریتم طبقه‌بندی برای هر کدام از کلاس‌ها، تصاویر ماهواره‌ای محدوده مورد مطالعه، با روش طبقه‌بندی شی‌گرا- فازی (روش

نزدیکترین همسایه)، طبقه‌بندی شدند. نقشه‌های کاربری اراضی بدست آمده از آنها در شکل ۲ آورده شده است:



شکل (۲) نقشه کاربری اراضی شهرستان تبریز در دوره مورد مطالعه

ضمناً برای ارزیابی صحت طبقه‌بندی به روش شیء‌گرا در محیط نرم‌افزار Definiens Tابع ماتریس خطا بر اساس نمونه‌های تعلیمی<sup>۱</sup> مورد استفاده قرار گرفت. در این روش با استفاده از نقاط جمع‌آوری شده GPS، ماتریس خطاًی طبقه‌بندی محاسبه شد. نتایج نهایی ماتریس خطاً عبارتند از: دقت تولیدکننده<sup>۲</sup>، دقت کاربر<sup>۳</sup> و ضریب کاپا<sup>۴</sup>.

1- Error Matrix based on TTA Max

2- Producer Accuracy

3- User Accuracy

4- Kappa Coefficient

دقت تولیدکننده، دقت کاربر و ضریب کاپا برای همه کلاس‌ها در تصاویر طبقه‌بندی شده، بالاتر از ۸۵ درصد برآورد شد که میزان قابل قبولی در مبحث مربوط به کاربری اراضی می‌باشد (جدول ۲).

جدول (۲) آمار مربوط به متوسط دقت تولیدکننده، دقت کاربر و ضریب کاپا برای تصویر مورد استفاده

کلاس	دقت تولیدکننده	دقت استفاده کننده	ضریب کاپا
اراضی سنگلاخی و بایر	۰/۹۴	۰/۹۳	۰/۹۴
پوشش گیاهی پراکنده	۰/۸۹	۰/۸۸	۰/۸۹
پوشش گیاهی انبوه	۰/۹۰	۰/۹۰	۰/۹۱
اراضی ساخته شده	۰/۸۹	۰/۸۸	۰/۸۹
مناطق آبی	۰/۸۲	۰/۸۸	۰/۸۲

سپس نتایج حاصل از مقایسه طبقه‌بندی‌ها، به صورت جداول ماتریسی استخراج شد و میزان تغییرات محاسبه گردید. با توجه به نتایج حاصل از مقایسه تصاویر، منطقه مورد مطالعه دچار تغییرات زیادی در کاربری و پوشش زمین گردیده است (جدول ۳).

جدول (۳) مقایسه میزان تغییرات کاربری و پوشش اراضی طی سال‌های مورد مطالعه

سال‌های مورد مطالعه	۱۹۸۹-۲۰۱۰	۲۰۰۷-۲۰۱۰	۲۰۰۱-۲۰۰۷	۱۹۸۹-۲۰۰۱
متوسط تغییرات (%)	۶۰/۸۰	۶۶/۳۰	۵۶/۸۰	۵۶/۴۰

## بحث و نتیجه‌گیری

این تحقیق به منظور آشکارسازی تغییرات کاربری اراضی شهرستان تبریز در دوره ۱۹۸۹-۲۰۱۰ و برآورد میزان این تغییرات انجام گرفت.

نتایج حاصله نشان می‌دهد که تغییرات حادث شده در همه کاربری‌ها به‌طور یکسان صورت نگرفته، بلکه این تغییرات در بعضی کاربری‌ها زیاد و در بعضی دیگر نامحسوس می‌باشد. به‌طور کلی، بیشترین تغییرات در پوشش گیاهی پراکنده و انبوه و بعد از آن در سطوح آبی و کمترین تغییرات در اراضی سنگلاخی و بایر رخ داده است. برای بررسی این مسئله در جدول به بررسی تک‌تک کاربری‌ها و تغییرات و تحولات آنها می‌پردازیم:

جدول (۵) بررسی تغییرات کاربری اراضی و نحوه تبدیل آن‌ها به یکدیگر طی دوره مورد مطالعه

کاربری	درصد تغییرات	عمده کاربری تبدیل شده به آن	تبدیل شده عمده به کاربری
اراضی سنگلاخی و بایر	کمترین	پوشش گیاهی پراکنده	اراضی ساخته شده-پوشش گیاهی پراکنده و انبوه
پوشش گیاهی پراکنده	بیشترین	ارضی سنگلاخی و بایر-پوشش گیاهی انبوه	ارضی سنگلاخی و بایر-
پوشش گیاهی انبوه	متوسط	ارضی سنگلاخی و بایر-پوشش گیاهی پراکنده	ارضی سنگلاخی و بایر-
اراضی ساخته شده	متوسط	ارضی سنگلاخی و بایر-پوشش گیاهی انبوه	ارضی سنگلاخی و بایر-
سطح آبی	متوسط	ارضی سنگلاخی و بایر-اراضی ساخته شده	ارضی سنگلاخی و بایر-اراضی ساخته شده

تغییرات کاربری اراضی ایجاد شده معمولاً با اثرات زیست محیطی نامطلوبی همراه بوده است. به طوری که زیان‌بارترین تغییرات مربوط به تغییر دیگر کاربری‌ها به کاربری اراضی ساخته شده بوده که خصوصاً در اثر گسترش شهر تبریز و تبدیل کاربری پوشش گیاهی می‌باشد. پوشش گیاهی، به ویژه در شهرهای بزرگ و صنعتی، دارای عملکردهای مختلفی می‌باشدند. به طوری که از یک سو موجب بهبود وضعیت زیست محیطی شده و از سوی دیگر شرایط مناسبی را برای گذران اوقات فراغت فراهم می‌کند. اثرات فضای سبز شهری از دیدگاه زیست محیطی مواردی چون کاهش آلودگی هوا، کاهش آلودگی صوتی، بهبود شرایط بیوکلیماتیک در شهر، افزایش نفوذپذیری خاک و تأثیر مثبت بر چرخه آب در محیط زیست شهری و افزایش کیفیت آبهای زیرزمینی را شامل می‌شود. فضای سبز می‌تواند به طور قابل توجهی دمای هوا را کاهش دهد و یا به تلطیف هوا کمک کند. بنابراین ضروری است که گسترش اراضی ساخته شده در این شهرستان با برنامه‌ریزی و نظارت متخصصان صورت گیرد تا از تخریب بیشتر و غیر اصولی محیط زیست طبیعی تا حد امکان جلوگیری گردد.

همچنین مقایسه نتایج حاصل از این تحقیق با یافته‌های محققان داخلی نظری: احتماد (۱۳۷۹)، نشاط (۱۳۸۱) خلاقی (۱۳۸۵) و رسولی (۱۳۸۶) نشانگر این واقعیت است که روش‌های اعمال شده در این مطالعه، می‌تواند ضمن شناسایی دقیق تغییرات کاربری اراضی در طول زمان، روند تخریب در عرصه‌های محیطی را به صورت کمی بیان نماید. همچنین، مقایسه نتایج حاصله با یافته‌های پژوهش‌های خارجی مانند گامانیا و همکاران (۲۰۰۷)، دوان و یاماگوچی (۲۰۰۹) و تسو و ماتری (۲۰۰۱)، دقیق بودن تکنیک شیگرا برای طبقه‌بندی تصاویر را به اثبات می‌رساند. بنابراین با توجه به تغییرات کاربری اراضی در دوره مورد مطالعه می‌توان به اختصار بیان کرد که:

- با فناوری سنجش از دور و تکنیک شیگرا امکان آشکارسازی تغییرات با دقت قابل قبول وجود دارد.
- در محدوده مورد مطالعه (خصوصاً شهر تبریز) اراضی ساخته شده گسترش زیادی یافته است.

## منابع

- ۱- احمدزاده، محسن (۱۳۷۹)، «ارزیابی و مدل سازی تغییرات کاربری اراضی با استفاده از تصاویر ماهواره‌ای چند زمانه و GIS»، پایان نامه کارشناسی ارشد، دانشکده علوم انسانی، دانشگاه تربیت مدرس.
- ۲- اداره کل سازمان مدیریت و برنامه ریزی استان آذربایجان شرقی، «سال نامه آماری استان آذربایجان شرقی در سال ۱۳۸۲».
- ۳- رسولی، علی‌اکبر (۱۳۸۷)، «مبانی سنجش از دور کاربردی با تأکید بر پردازش تصاویر ماهواره‌ای»، چاپ اول، انتشارات دانشگاه تبریز.
- ۴- رسولی، علی‌اکبر؛ زربن‌بال، محمد و محمد شفیعی (۱۳۸۶)، «کاربرد تصاویر ماهواره‌ای با هدف تشخیص تغییرات کاربری اراضی و ارزیابی تأثیرات محیط زیستی»، پژوهش آبخیزداری، شماره ۸۳
- ۵- رسولی، علی‌اکبر و حسن، محمودزاده (۱۳۸۹)، «مبانی سنجش از دور پایه»، انتشارات علمیران، تبریز، چاپ اول.
- ۶- رسولی، علی‌اکبر و همکاران طرح (۱۳۸۶)، «ارزیابی تغییرات جنگلهای ارسباران با استفاده از فناوری GIS»، طرح تحقیقاتی، مدیریت پژوهش و فن‌آوری دانشگاه تبریز.
- ۷- فیضی‌زاده، بختیار؛ جعفری، فیروز و حسین نظمفر (۱۳۸۶)، «کاربرد داده‌های سنجش از دور در آشکارسازی تغییرات کاربری اراضی شهری»، همایش GIS شهری.
- 8- Abd El-Kawyia, O.R., J.K., Rød, H.A., Ismail, A.S., Suliman (2010), “Land Use and Land Cover Change Detection in the Western Nile Delta of Egypt Using Remote Sensing Data”, *Applied Geography*, 31 (2010) 483-494.
- 9- Definiense Professional Earth Trial 5.0; User Guide & Reference Book, German.
- 10- Dewan, A.M., Y., Yamaguchi (2009), “Land Use and Land Cover Change in Greater Dhaka, Bangladesh: Using Remote Sensing to Promote Sustainable Urbanization”, *Applied Geography* 29:390-401.

- 11- Gamanya, A., P., D., Maeyer, M.D., Dapper (2009), “Object-Oriented Change Detection for the City of Harare, Zimbabwe”, *Expert Systems with Applications*, 36 (2009) 571-588.
- 12- ENVI 4.7; ENVI User Guide, Research System Inc.
- 13- Erdas Imaging 8.7; Erdas Field Guide, ERDAS Inc., Atlanta, Georgia.
- 14- <http://www.glcumiacs.umd.edu/data>
- 15- <http://www.ittvis.com/Search.aspx?Search=envi>
- 16- Jenson, J.R. (1986), “*Introductory Digital Image Processing*” Prentice Hall, USA.
- 17- Richards, J.A. (1999), “*Remote Sensing Digital Image Analysis, an Introduction*”, Second Edition, Springer-3<sup>rd</sup>, Berlin, New York, Springer, c1999.
- 18- Tso, B., P.M., Mather (2001), “*Classification Methods for Remotely Sensed Data*”, Taylor & Francis, USA.